

电测井理论

Л. М. 阿尔平著

地质出版社

电测井理论

王士林著

石油工业出版社

电 测 井 理 论

J. M. 阿 尔 平 著

地 质 出 版 社

1958·北 京

“电测井理論”这一本書是叙述电测井的一个基本問題——确定“視电阻率”与介質真电阻率的关系。

在本書中給出关于一组同心圓柱分界面軸上点电極电場强度和电位問題的解，視电阻率与測井探測电極大小的关系曲線的計算，并考慮到冲洗液和井壁处“中間層”的影响。本書的对象是电法勘探人員。

本書由陳培光譯，程方道校。

电测井理論

著 者 月. M. 阿 尔 平
譯 者 陈 培 光
出版者 地 質 出 版 社
地 址 北京宣武門外永光寺西街 3 号
北京市書刊出版業營業許可證字第 050 号
發 行 者 新 華 書 店
印 刷 者 天 津 人 民 印 刷 厂

印数(京) 1—900 册 1958年 5 月北京第 1 版

开本 31"×43" 1/25 1958年 5 月第 1 次印刷

字数 95,000 印張 4 8/25

定价(10) 0.60 元

目 錄

§ 1. 前言.....	4
§ 2. 問題的提出.....	8
§ 3. 一般形式的电位表达式.....	9
§ 4. 电位表达式中係數的决定.....	13
§ 5. 三种介質情況的电位表达式.....	18
§ 6. 鑽井軸上电位和場強的公式.....	20
§ 7. 介質電導率各種比值時的函数 $A(\lambda)$	21
§ 8. 在变量值大和小时函数 $A(\lambda)$ 的性狀.....	24
§ 9. 計算被積函数时横坐标的選擇.....	27
§ 10. 積分的起始區間.....	32
§ 11. 函数 $A(\lambda)$ 的計算.....	42
§ 12. 电位表达式中積分的計算.....	44
§ 13. 場強表达式中積分的計算.....	49
§ 14. 电位探測電極的視电阻率曲綫.....	54
§ 15. 电極 N 的影响.....	61
§ 16. 梯度探測電極的視电阻率曲綫.....	65
§ 17. 高电阻率的中間薄層.....	73
§ 18. 等效性.....	77
§ 19. 基本計算表格.....	84
§ 20. 計算結果的精确度.....	92
§ 21. 得出的側測井測深理論曲綫的評論.....	100

§ 1. 前 言

从测井①誕生起测井的实践就提出了关于各种复杂因素对视电阻率大小影响的问题，视电阻率是用放入井中的测井“探测电极”测出的。测井的略图见图1。

在充满“冲洗液”（亦即含有悬浮状态粘土的水）的测井中放入一

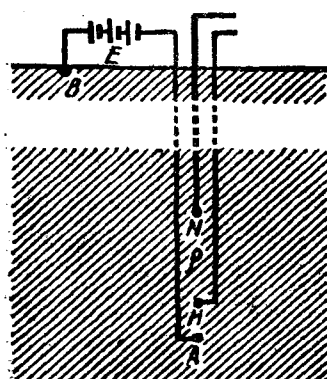


图 1. 在均匀介质中
的测井探测电极

组沿井分布的电极，称为“测量装置”或“探测电极”，由两个测量电极M和N及一个供电电极A组成。所测量的是电极M和N之间的电位差 $\varphi_M - \varphi_N$ 是由电路“地—电极A—电池E—电极B—地”中电流I所引起的（电路的后三个环节通常位于地表面）。

在实践中供电电极和测量电极常常交换地位，大家知道，这并不影响测量结果，亦即化到单位电流强度的量 $\varphi_M - \varphi_N$ 。

量 $K \frac{\varphi_M - \varphi_N}{I}$ 称为介质的视电阻率并用字母 ρ 来表示。

乘数K具有长度的量纲并决定于电极的相互位置。它这样选择，使得出（在电极的已知位置时，在均匀的介质中，其电阻率为 ρ ）的比值 $\frac{\varphi_M^n - \varphi_N^n}{I} = \frac{\rho}{K}$ (φ_M^n 和 φ_N^n —— 均匀介质中的电位)。在这样选择

①测井 (carottage) 或确切些电测井 (carottage électrique) 是法国学者 K. 什柳姆别尔热 (C. Schlumberger) 提出的和他所建立的“电法勘探协会” (“Société de Prospection Electrique”) 从1928年起所应用的。电测井是对钻井作电学的研究，其结果类似研究取自钻井的标本的结果，可以利用于工业实践的目的。在电测井结果中所获得的所谓岩石视电阻率图上一些有特征性的地区相当于不同的层，根据这些地区就可以分辨不同的层。目前在某些情况下有效地应用新式电测井可以不用取标本，因此就加重了钻进和减低了钻进的价格。

K 时產生等式:

在均匀介質中

$$\frac{\rho}{\rho} = 1$$

在非均匀介質中

$$\frac{\rho}{\rho} = \frac{\varphi_M - \varphi_N}{\varphi_M^n - \varphi_N^n}$$

在位于一条直線上的点电極的情况下

$$K = 4\pi \frac{\overline{AM} \cdot \overline{AN}}{\overline{MN}},$$

因为

$$\varphi_M^n = \frac{\rho I}{4\pi} \frac{1}{AM}$$

及

$$\varphi_N^n = \frac{\rho I}{4\pi} \frac{1}{AN},$$

条件是，如果第二个供电电極 *B* 距其余三个电極足夠远。

应当弄明，如果考慮到測量实际上是在非均匀介質中進行的，那末在电極的位置不同时量 ρ 能在怎样的程度上表征鑽井所穿过的岩層的电阻率。关于岩層各向異性影响的問題已超出本書範圍，因此以后我們假設所有介質都是各向同性的。

圍着电極的介質通常是由电阻率为 ρ_1 的冲洗液（电極沉在其中）和电極附近包围鑽井并具有电阻率 ρ 的被探测岩層所組成（圖 2）。

根据在鑽井中一系列实际工作的結果可以作出結論，位于直接靠近井壁处的岩石的电阻率并非永远能和岩層的电阻率一样。井中的測量証明，孔隙層和穿过它的鑽井的井筒常常被物理性質与岩層的物理性質不同的一層所隔开。以后我們称这一層为

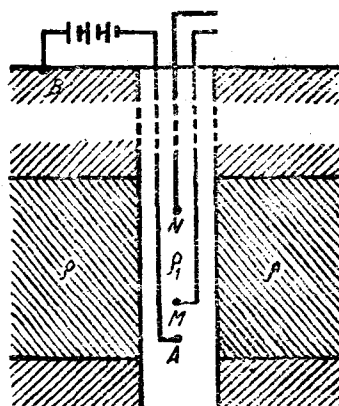


圖 2. 井中的測井探测电極

中間層，而組成它的材料我們稱為中間介質。可能這一層的電阻率，決定於沖洗液（或正確些說由鑽井到岩層中的水）的滲透。使觀測的自然條件理想化，我們應把電阻率 ρ 看成是距鑽井軸的距離的連續函數，或者將具有連續變化 ρ 值的中間介質換以各層具有固定電阻率的同軸圓筒層系。

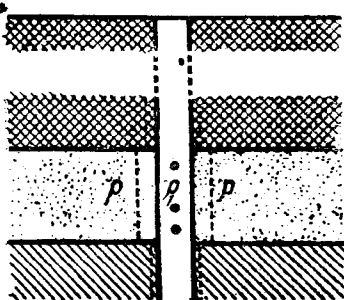


圖 3. 在被中間層包圍的
鑽井中的測井探測電極

假設在中間圓柱層中 $\rho = \text{const}$ ，其厚度可以由零變化到鑽井的數個半徑（圖 3），那末想必可以得到最簡單的並接近於真實的自然條件的理想化。

為了進一步接近真實的測井條件應考慮到，包圍着沖洗液柱的中間區可能由三層組成：（1）鑽井壁上的泥土外皮；（2）岩層的粘土化層，岩層的孔隙在沖洗液由鑽井通過岩層的過程中要受到淤積；（3）到粘土化層和泥土外皮中孔隙最終堵塞時止由沖洗液中濾過的水的滲透區。根據 K. A. 察列韋奇的數據（《井壁的挂泥》，《石油經濟》№ 11，1934年11月），泥土外皮的厚度，以及粘土化層的厚度與水滲透區相比較是不大的。

但是，不具有關於上述各層電性的數據，就很难判斷這些層用一個具有某一虛構（平均）電阻率的中間層替換的正確性，虛構電阻率代表它們對視電阻率大小的總影響。

至于水的滲透區範圍內電阻率的恒定性和這一區的外邊界的性質，那末，可能，它們決定於濾過水和層間水的相互作用性質。

探尋與中間層形成有關的現象和研究中間層的電性對發展電測井的理論和實踐有非常重要的意義。

如果作為第一近似也還是取在中間層的範圍內 $\rho = \text{常數}$ ，那末上面提出的問題可以用下面的方法來提出。

需要求出量

$$\bar{\rho} = K \frac{\varphi_M - \varphi_N}{I}$$

- (1) 与鑽井和中間層的直徑,
- (2) 与各層的厚度和各電極的位置,
- (3) 与各層的电阻率, 冲洗液和中間層的电阻率的关系。

由数学物理的观点出发这一問題归結为測定空間中点电源的电位和場強, 空間被一組同心圓柱和平行平面分界面分开为許多充滿不同电阻率的介質的部分。这样一般提出的問題是非常难的。甚至僅有一些同心圓柱分界面或一个圓柱和一个平面分界面集合的更簡單情况, 在实际解决它們时也会導致顯著的困难。

最重要的同时也是最簡單的一个圓柱分界面的情况, B. A. 佛科教授在論文 « 测井法测定岩石电阻的理論 » (ГТТИ, 1933) 中討論过。在这一書中給出了計算位于鑽井軸上点电極在这一軸的各点上的电位的計算法, 并考慮到冲洗液的影响 (冲洗液和周圍均匀介質間的分界面)。那里也在 $\rho_2 > \rho_1$ 时对于探测电極的長度与鑽井半徑的三个比值, 算出值 $\frac{\rho}{\rho_1}$ 与比值 $\frac{\rho_2}{\rho_1}$ 的函数关系。

在外介質的电阻率无限大时兩個同心圓柱分界面的情况 ($\rho_3 = \infty$) A. I. 查博罗夫基斯教授已計算出 (手稿)。

圓柱和平面分界面集合的情况是特殊困难的并到現在为止仍未解决。

在所有介質的电阻率任意时一个或兩個同心圓柱分界面的情况是本書的对象 (圖 4 和 7)。

尽可能完全的研究量 ρ 和測定确定量 ρ 的各个因素的必要性導致一个特殊的方法, 它称为側測井測深, 实际上在不同地区实行的。

側測井測深 (БКЗ) 是用各种尺寸探测电極的多次測井。由于側測井測深的結果可得到描述 ρ 与探测电極尺寸的关系的實驗曲綫。

本書的目的是獲得視电阻率与探测电極大小的关系的理論曲綫,

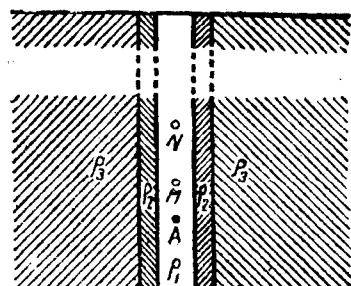


圖 4. 兩個同心圓柱分界面的情况
(三种介質)

并解决由此产生的关于一组同心圆柱分界面系统的轴上点电源的电场问题。

§ 2. 問題的提出

提出問題時我們以下面的假設作為基礎：

1. 包圍測量裝置的所有介質都是均勻各向同性的。
2. 沿平行于鑽井軸的方向介質的電性不改變。實際上這意味著，岩層的頂板和底板（測量裝置位於其範圍內）距離測量裝置足夠遠。
3. 充滿鑽井的液柱具有無限長圓柱的形狀。
4. 清洗液和電阻率不變的岩石之間的中間介質是同心圓柱層的集合，其軸與鑽井軸重合。

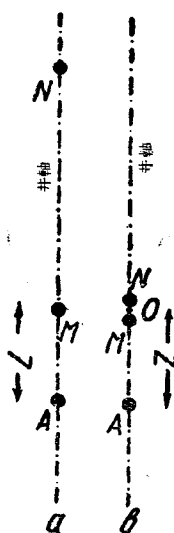


圖 5. 探測電極；電位的 $\sim \alpha$ ，梯度的 $\sim b$

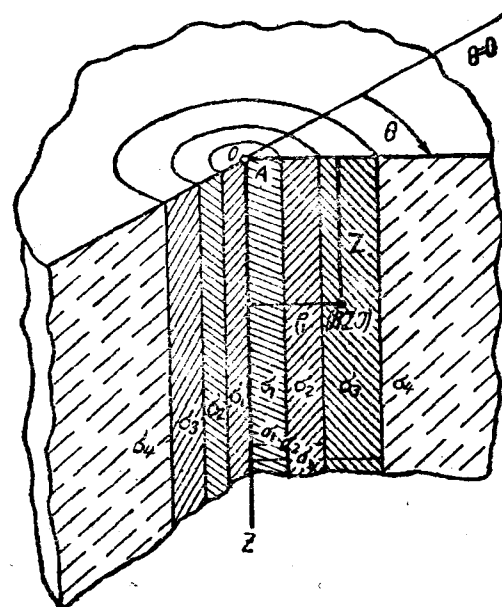


圖 6. ($n-1$) 個同心圓柱分界面的
情況 (n 種介質)

5. 組成測井探測電極的電極位於鑽井軸上並與探測電極的尺寸和鑽井的半徑相比較可以認為是點電極。

6. 探测电极由一个供电电极 A 和两个测量电极 M 和 N 组成。并且与由供电电极到测量电极中最近的一个的距离比较后者之间的距离或者很大(图 5, 探测电极 a), 或者很小(图 5, 探测电极 b)①。

在数学上用下面的方式提出问题。空间由 $n-1$ 个无限长的同心圆柱面的集合分为 n 部分, 其半径为 $a_1, a_2, a_3, \dots, a_m, \dots, a_{n-1}$, 其中充满各向同性介质 $1, 2, 3, \dots, m, \dots, n$, 其电导率为 $\sigma_m = \frac{1}{\rho_m}$ 。其中 ρ_m —第 m 个介质的电阻率(图 6)。在上述圆柱面的轴上应有一个点电源 A ; 需要测定位于这一轴的各点上的电场强度。

§ 3. 一般形式的电位表达式

我们取一个圆柱坐标系(R, Z, θ)并将其原点与点电源 A 重合而其轴 Z 与一组同心圆柱分界面系统的轴重合(图 6)。

我们来求电位表达式, 亦即满足下列条件的函数 φ (显然, 对于不同的介质它具有不同的表达式 φ_m):

1. 在空间的所有点上函数 φ 满足于拉普拉斯方程式, 坐标原点除外,

$$\text{当 } R^2 + Z^2 \neq 0 \text{ 时 } \nabla^2 \varphi = 0.$$

在圆柱坐标系中这一方程式具有下一种形式:

$$\frac{\partial^2 \varphi}{\partial Z^2} + \frac{1}{R} \frac{\partial}{\partial R} \left(R \frac{\partial \varphi}{\partial R} \right) + \frac{1}{R^2} \frac{\partial^2 \varphi}{\partial \theta^2} = 0. \quad (1)$$

2. 在坐标原点附近函数 φ 近于电阻率为 ρ_1 的均匀介质中点电源的电位表达式, 亦即

①在比值 $\frac{MN}{AM}$ 大时探测电极可以测定电源 A 在点 M 上的电位, 因此图 5 上用字母 a 表出的探测电极我们称为电位探测电极, 与同一图形上用字母 b 表出的探测电极不同, 我们称那一电极为梯度探测电极, 因为在比值 $\frac{MN}{AM}$ 小时探测电极可以测定距离电源 A 距离为 $\overline{AO} = \frac{\overline{AM} + \overline{AN}}{2}$ 的点 O 上的电场梯度。

实践中还有另外两个名称:“正常探测电极”和“反探测电极”。第一个相当于电位探测电极, 第二个相当于梯度探测电极。

$$\text{当 } R^2 + Z^2 \rightarrow 0 \text{ 时 } \varphi_1 \rightarrow \frac{\rho_1 I}{4\pi} \frac{1}{\sqrt{R^2 + Z^2}} = \varphi^n. \quad (2)$$

3. 經過分界面 $R=a_m$ 時函數 φ 連續地改變，亦即

$$\varphi_m(a_m) = \varphi_{m+1}(a_m). \quad (3)$$

4. 這時電流密度向量的法線（徑向）分量也連續地改變

$$i_r = -\sigma \frac{\partial \varphi}{\partial R},$$

亦即

$$\text{在 } R=a_m \text{ 时, } \sigma_m \frac{\partial \varphi_m}{\partial R} = \sigma_{m+1} \frac{\partial \varphi_{m+1}}{\partial R}. \quad (4)$$

5. 在距離電源 A 无限遠處如 $\frac{1}{\sqrt{R^2 + Z^2}}$ 一樣，電位趨近於零，亦

即在 $R \rightarrow \infty$ 時

$$\varphi_n \rightarrow \frac{1}{4\pi\sigma_n} \frac{1}{\sqrt{R^2 + Z^2}}. \quad (5)$$

此外，函數 φ 應滿足問題的下列條件。

6. 由於場的軸對稱，亦即

$$\varphi = \varphi(R, Z), \quad (6)$$

電位和場強不決定於 θ 的坐標。

7. 由於電場對於穿過電源 A 並垂直圓柱分界面的軸的平面是對稱的，電位和場強不決定於 Z 的符號，

$$\varphi(R, +Z) = \varphi(R, -Z). \quad (7)$$

我們來研究函數

$$\varphi^p = \varphi - \varphi^n = \varphi - \frac{\rho_1 I}{4\pi} \frac{1}{\sqrt{R^2 + Z^2}}. \quad (8)$$

顯然，這一函數滿足下列條件：

$$\frac{\partial^2 \varphi^p}{\partial Z^2} + \frac{1}{R} \frac{\partial}{\partial R} \left(R \frac{\partial \varphi^p}{\partial R} \right) + \frac{1}{R^2} \frac{\partial^2 \varphi^p}{\partial \theta^2} = 0, \quad (1a)$$

$$\varphi_m^p(a_m) = \varphi_{m+1}^p(a_m); \quad (3a)$$

$$\varphi_m^p = \varphi_m^p(R, Z); \quad (6a)$$

$$\varphi^p(R, +Z) = \varphi^p(R, -Z), \quad (7a)$$

因为函数 φ 和 φ^p 满足于类似的条件。此外，在

$$R^2 + Z^2 = 0 \text{ 时}, \quad \varphi^p = 0. \quad (2a)$$

在空间所有点上函数 φ^p 是有限的和连续的并可以写成傅里叶积分的形式：

$$\varphi^p(R, Z) = \int_0^\infty [f(R, x) \cos(xZ) + g(R, x) \sin(xZ)] dx, \quad (8a)$$

其中

$$f(R, x) = \frac{1}{\pi} \int_{-\infty}^{+\infty} \varphi^p(R, t) \cos(xt) dt, \quad (9)$$

$$g(R, x) = \frac{1}{\pi} \int_{-\infty}^{+\infty} \varphi^p(R, t) \sin(xt) dt. \quad (9a)$$

但是因为函数 φ^p 对 Z 是偶函数（条件 7a），所以应使 $\sin(xZ)$ 的乘数等于零，亦即

$$g(R, x) = 0, \quad (9b)$$

而属于 $\cos(xZ)$ 的乘数具有形式：

$$f(R, x) = \frac{2}{\pi} \int_0^\infty \varphi^p(R, t) \cos(xt) dt. \quad (9c)$$

将 (9b) 代入 (8a) 中，我们得：

$$\varphi^p(R, Z) = \int_0^\infty f(R, x) \cos(xZ) dx. \quad (8b)$$

这样，我们将问题导至求函数，

$$f(R, x) = \frac{2}{\pi} \int_0^\infty \varphi^p(R, t) \cos(xt) dt.$$

将被积式由 (8b) 代入拉普拉斯方程式 (1a) 中，由于 φ^p 不决定于 θ (条件 6a) 它具有下一种形式：

$$-\frac{\partial^2 \varphi^p(R, Z)}{\partial Z^2} + \frac{\partial^2 \varphi^p(R, Z)}{\partial R^2} + \frac{1}{R} \frac{\partial \varphi^p(R, Z)}{\partial R} = 0, \quad (1b)$$

我們得出常微分方程式

$$\frac{d^2 f(R, x)}{dR^2} + \frac{1}{R} \frac{df(R, x)}{dR} - x^2 f(R, x) = 0, \quad (1c)$$

在代入 $xR=u$ 后它具有形式：

$$u^2 \frac{d^2 W(u)}{du^2} + u \frac{dW(u)}{du} - u^2 W(u) = 0, \quad (1d)$$

其中

$$W(u) = f\left(\frac{u}{x}, x\right).$$

这一方程式的一般解用虛变量 $\sqrt{-u^2} = iu$ 的第一种和第二种零階貝塞爾函数表示并具形式：

$$W(u) = C I_0(u) + C' K_0(u), \quad (1d)$$

其中

$$I_n(u) = \sum_{k=0}^{k=\infty} \frac{\left(\frac{u}{2}\right)^{n+2k}}{k!(n+k)!}, \quad (10)$$

$$k_n(u) = \frac{1}{2} \sum_{k=0}^{k=n-1} \frac{(-1)^k (n-k-1)!}{k! \left(\frac{u}{2}\right)^{n-k}} +$$

$$+ \frac{(-1)^n}{2} \left[\sum_{k=0}^{k=\infty} \frac{\left(\frac{u}{2}\right)^{n+2k}}{k!(n+k)!} \left(\sum_{s=1}^{s=k} \frac{1}{s} + \sum_{s=1}^{s=k} \frac{1}{s} \right) - \left(\gamma + \ln \frac{u}{2} \right) I_n(u) \right], \quad (11)$$

而 $\gamma = 0.5772156649\dots$ 是尤拉常数。

这样，在第 m 个介質中

$$g_m^p = \int_0^\infty [C_m I_0(xR) + C'_m K_0(xR)] \cos(xZ) dx, \quad (8c)$$

但是

$$\varphi(R, Z) = \varphi^p(R, Z) + \varphi^n(R, Z),$$

可以

$$\varphi_m(R, Z) = \int_0^\infty [C_m I_0(xR) + C'_m K_0(xR)] \cos(xZ) dx + \frac{\rho_1 I}{4\pi} \frac{1}{\sqrt{R^2 + Z^2}},$$

但是，正如大家知道，

$$\frac{1}{\sqrt{R^2 + Z^2}} = \frac{2}{\pi} \int_0^\infty K_0(xR) \cos(xZ) dx, \quad (12)$$

可以

$$\varphi_m(R, Z) = \int_0^\infty [C_m I_0(xR) + \left(C'_m + \frac{2\pi^2}{\rho_1 I} \right) K_0(xR)] \cos(xZ) dx.$$

設

$$C'_m + \frac{\rho_1 I}{2\pi^2} = D_m, \quad (2b)$$

我們得出在第 m 個介質中下一形式的一般電位表達式：

$$\varphi_m(R, Z) = \int_0^\infty [C_m I_0(xR) + D_m K_0(xR)] \cos(xZ) dx. \quad (8d)$$

$(m=1, 2, \dots, n),$

其中 C_m 和 D_m 應由問題的條件決定。

§ 4. 電位表達式中係數的決定

(8d) 的右邊含有 $2n$ 個未知係數 C_m 和 D_m ，其中 $m=1, 2, 3, \dots, n$ 。

對於決定它們條件 (3) 可以得出 $n-1$ 個如下形式的方程式

$$C_m I_0(xa_m) + D_m K_0(xa_m) = C_{m+1} I_0(xa_m) + D_{m+1} K_0(xa_m), \quad (13)$$

而條件 (4) 可得出 $n-1$ 個如下形式的方程式

$$\sigma_m [C_m I_1(va_m) - D_m K_1(xc_m)] = \sigma_{m+1} [C_{m+1} I_1(va_m) - D_{m+1} K_1(xa_m)], \quad (14)$$

因为 $\frac{dI_1(\tau)}{dt} = I_0(t)$ (15)

和

$$\frac{dK_0(t)}{dt} = -K_1(t). \quad (15a)$$

要解这一个問題还必需由条件 (2a) 和 (5) 得出兩個方程式。
实际上，根据条件 (5)，在 $R \rightarrow \infty$ 时

$$\varphi_m(R, Z) \rightarrow 0$$

但是，大家知道，在 $R \rightarrow \infty$ 时

$$I_0(xR) \rightarrow \infty \quad (16)$$

因此应假設

$$C_n = 0. \quad (17)$$

根据条件 (2a)，在 $R^2 + Z^2 = 0$ 时， $\varphi_1^p = 0$

但是在 $R^2 + Z^2 = 0$ 时根据 (12)

$$\int_0^\infty K_0(xR) \cos(xZ) dx = \infty \quad (12a)$$

而

$$\int_0^\infty I_0(xR) \cos(xZ) dx,$$

顯然，等于零，因此表达式 (8c) 中積分号下括号中第二項（为第一个介質寫出的）应等于零，亦即 $C'_1 = 0$ 。

所以，根据 (2b)，

$$D_1 = \frac{\rho_1 l}{2\pi^2}. \quad (18)$$

这样，留下未知的为 $2n-2$ 个系数。

$$C_1, C_2, C_3, \dots, C_{n-1},$$

$$D_2, D_3, \dots, D_{n-1}, D_n,$$

为了求出它们，我们可以利用方程组 (13) 和 (14)。

为了以后叙述方便起见我们以鑽井半徑來表示所有的綫性数值

$$a_1 = \frac{d}{2},$$

引入下面的符号：

$$r = \frac{R}{a_1}; z = \frac{Z}{a_1}; r_m = \frac{a_m}{a_1} \quad (r_1=1; r_n=\infty). \quad (19)$$

省略去 a_1 的脚标并引入積分的新变量

$$\lambda = \alpha x, \quad d\lambda = \alpha dx \quad (20)$$

和系数的新符号

$$A_m = \frac{2\pi^2 \sigma_1}{I} C_m \text{ 和 } B_m = \frac{2\pi^2 \sigma_1}{I} D_m. \quad (21)$$

那时替代 (8d), (17) 和 (18) 我们得：

$$g_m(R, Z) = \frac{I}{2\pi^2 \alpha \sigma_1} \int_0^\infty [A_m I_0(\lambda r) + B_m K_0(\lambda r)] \cos(\lambda z) d\lambda; \quad (8e)$$

$$A_n = 0 \quad (17a)$$

和